

УДК 552.578

## ПРОГНОЗ НЕФТЕНОСНОСТИ ОТЛОЖЕНИЙ ТУТЛЕЙМСКОЙ СВИТЫ В ПРЕДЕЛАХ КРАСНОЛЕНИНСКОГО СВОДА (ЗАПАДНАЯ СИБИРЬ)

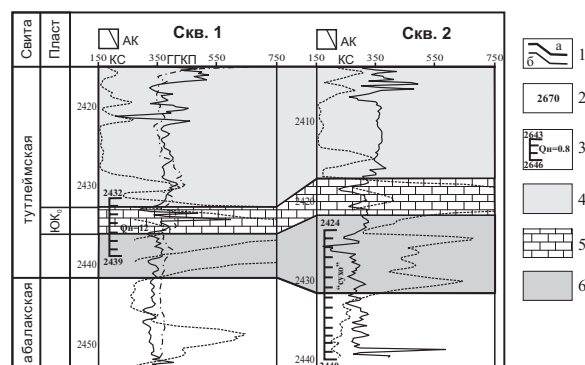
О.О. Абросимова, С.И. Кулагин

ОАО «Сибнефтегеофизика», г. Новосибирск

E-mail: abrosimova@sibngf.ru

Работа посвящена проблеме картирования трещинных и трещинно-кавернозных коллекторов тутлеймской свиты Красноленинского свода. Показано, что наиболее перспективными являются отложения нижнетутлеймской подсвиты. Установлено наличие связи между коллекторскими и акустическими свойствами изучаемых пород. Для картирования коллекторов использованы результаты динамической инверсии временных разрезов.

Рассматриваемые отложения были выделены в ранге деминской свиты П.Ф. Ли в 1956 г., которая позднее, в схемах районирования Западной Сибири, принятых на совещании 1960 г. [1], была переименована в тутлеймскую. По степени содержания органического вещества в данных образованиях выделяется три типа разреза: чульский, красноленинский и тобольский, каждый из которых расположен в соответствующем районе [2]. Породы формировались в позднеюрское (нижнетутлеймская подсвита) и раннемеловое (верхнетутлеймская подсвита) время. Общая мощность данных отложений изменяется в пределах от 20 до 40 м. Материалы литологических и геохимических исследований данных отложений легли в основу ряда монографий, обзоров и статей [3, 4 и др.], согласно которым в отложениях выделяются продуктивные пласты, представленные кремнистыми и карбонатными литотипами, в которых образуются вторичные коллекторы, рис. 1.



**Рис. 1.** Литолого-геофизические разрезы тутлеймской свиты: 1) границы свит (а), пластов (б); 2) глубина кабельная, м; 3) интервал опробования и результаты испытания в перфорированном стволе:  $Q_n$  – дебит нефти, м³/сут; отложения: 4) глинисто-кремнистые битуминозные, 5) карбонатные, 6) каолиново-глинистые

Нефтегазосность в пределах Красноленинского свода (красноленинский тип разреза) доказана на Ем-Еговской, Каменной, Лорбинской, Сосново-Мысской, Пальяновской площадях. Дебиты нефти изменяются в пределах от 0,5...3 до 100 и более т/сут, что обусловлено неоднородным строением коллекторов трещинного и трещинно-кавернозного типов.

Верхним флюидоупором являются распространенные повсеместно на территории Красноленинского свода глинистые отложения фроловской свиты. Возникновение залежей нефти в рассматриваемых отложениях, прежде всего, возможно при условии изоляции от проницаемых разностей в нижележащих породах абалакской свиты и образования доюрского комплекса. По-видимому, возможен вариант и гидродинамически связанных залежей.

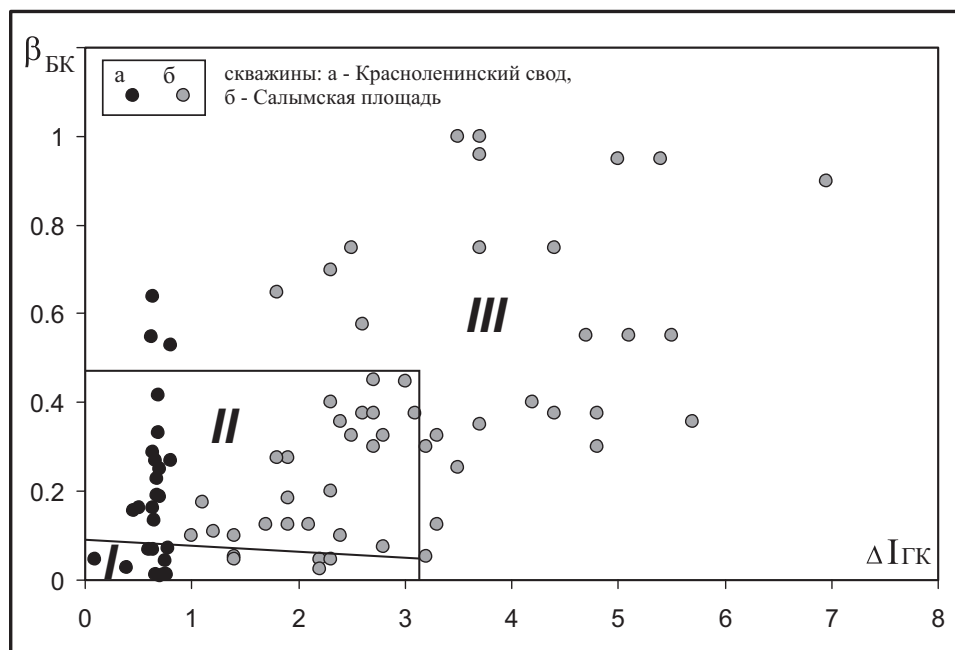
Прогноз развития коллекторов в отложениях тутлеймской свиты осуществлялся на основе результатов сейсморазведочных работ и скважинных данных.

Скоростные свойства пород, составляющих подразделения свиты, изучались при помощи акустического каротажа.

Пластовые скорости изменяются следующим образом: верхнетутлеймская подсвита –  $V_{пл} = 2130...2800$  м/с (битуминозные глинисто-кремнистые образования); верхняя часть нижнетутлеймской подсвиты –  $\geq 4500$  м/с (карбонатные породы); нижняя часть – 2600...4200 м/с (каолиново-глинистые и кремнистые породы).

В связи с отсутствием представительной выборки по испытаниям отложений верхнетутлеймской подсвиты, было выполнен анализ следующих относительных параметров: данных бокового каротажа в изучаемом пласте и в пласте, обладающем максимальным сопротивлением располагающимся в кровле верхнетутлеймской подсвиты ( $\beta_{БК}$ ) и двойного разностного параметра гамма-каротажа ( $\Delta I_{ГК}$ ) (т. е. показаний гамма-каротажа исследуемого пласта битуминозных пород и опорного пласта выше-залегающих глин фроловской свиты [5]). На следующем этапе изучения проводилось сопоставление полученных данных с результатами, выявленными при исследовании битуминозных пород баженновской свиты Салымского нефтяного месторождения авторами работы [6], установившими, что при возрастании количества проницаемых пластов уменьшается плотность битуминозных пород, – что отражается в увеличении  $\Delta I_{ГК}$  и повышении  $\beta_{БК}$ ; начиная со значений  $\Delta I_{ГК} \geq 3$  отмечается наличие коллектора [6], рис. 2.

В связи с тем, что значительная часть скважин вскрыла разрезы верхнетутлеймской подсвиты, характеризующиеся как непроницаемые или неясно-



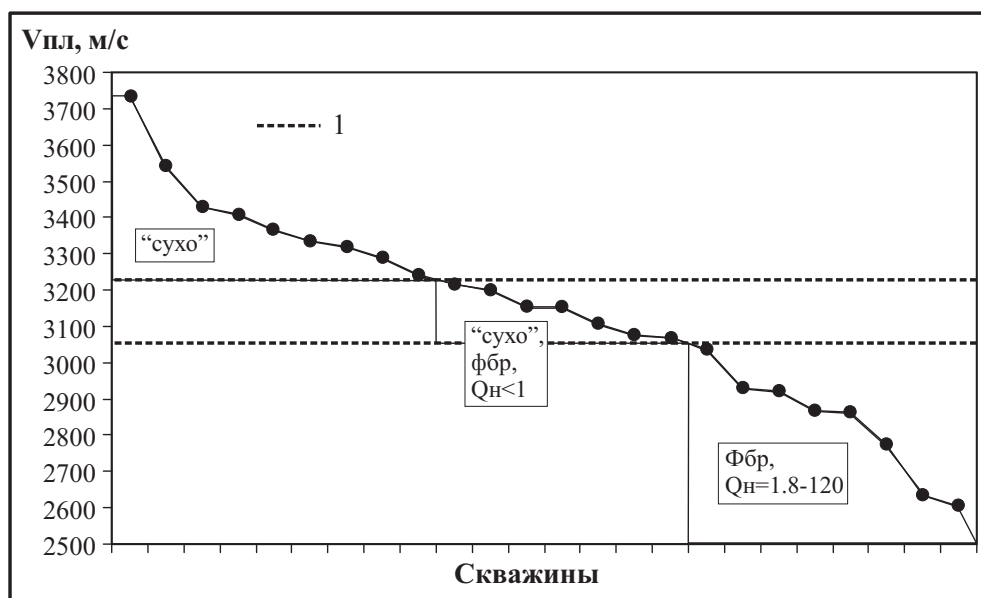
**Рис. 2.** Сопоставление относительных параметров  $\Delta I_{ГК}$  и  $\beta_{БК}$  битуминозных пород Красноленинского свода (верхнетутлеймская подсвита) и Салымского (баженовская свита) месторождения. Зоны: I) непроницаемых пород, II) неоднозначности, III) проницаемых пород

го насыщения, на данный момент исследования, по-видимому, эти отложения следует рассматривать как малоперспективный объект. Это положение согласуется и с гидродинамическими исследованиями — максимальный приток нефти из этих пород составляет  $0,5 \text{ м}^3/\text{сут}$ .

Сопоставление акустических характеристик и испытаний скважин показывает, что при наличии

интервалов, имеющих  $V_{пл} < 3000 \text{ м/с}$ , в отложениях нижнетутлеймской подсвиты (пласт ЮК<sub>0</sub>) возможно наличие коллектора, рис. 3.

Зоны развития коллекторов закартированы по разрезам скоростей, полученных в результате динамической инверсии в программном пакете [7, 8]. Участкам коллекторов соответствуют аномалии пониженных значений, рис. 4.



**Рис. 3.** Сопоставление результатов испытания скважин и пластовых скоростей отложений нижнетутлеймской подсвиты: 1 — условная граница раздела отложений нижнетутлеймской подсвиты по коллекторским свойствам в зависимости от значений пластовых скоростей

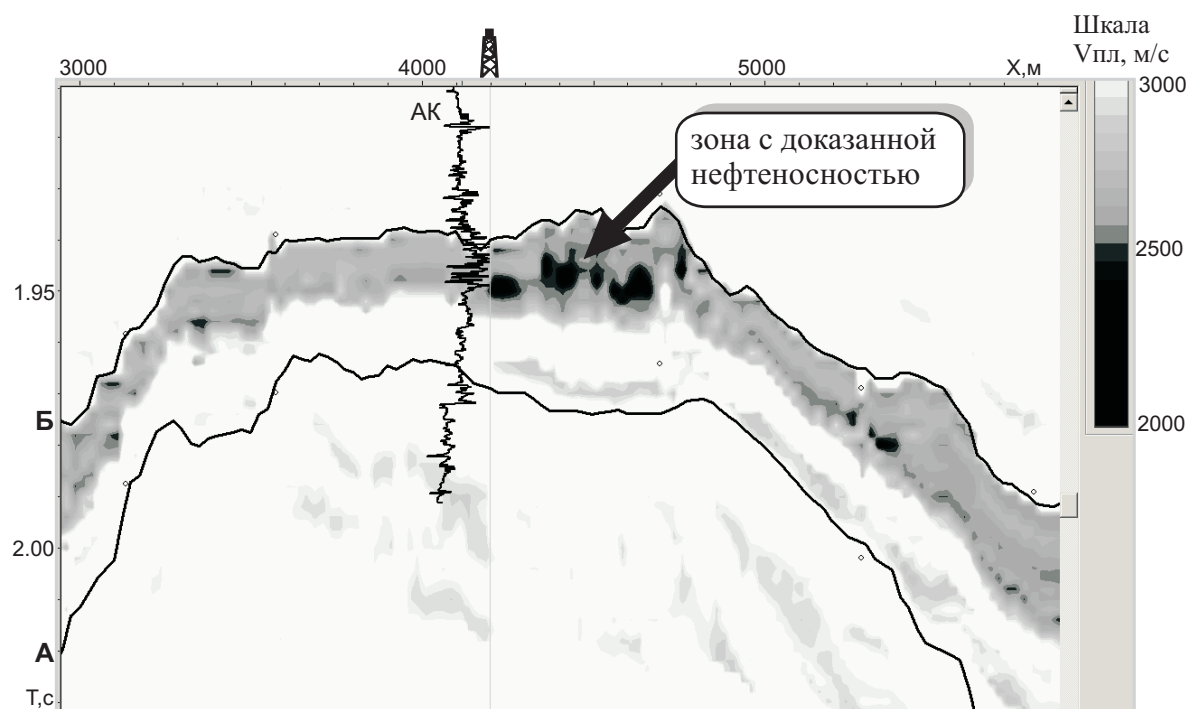


Рис. 4. Фрагмент разреза скоростей, проходящего через скважину, давшую приток нефти

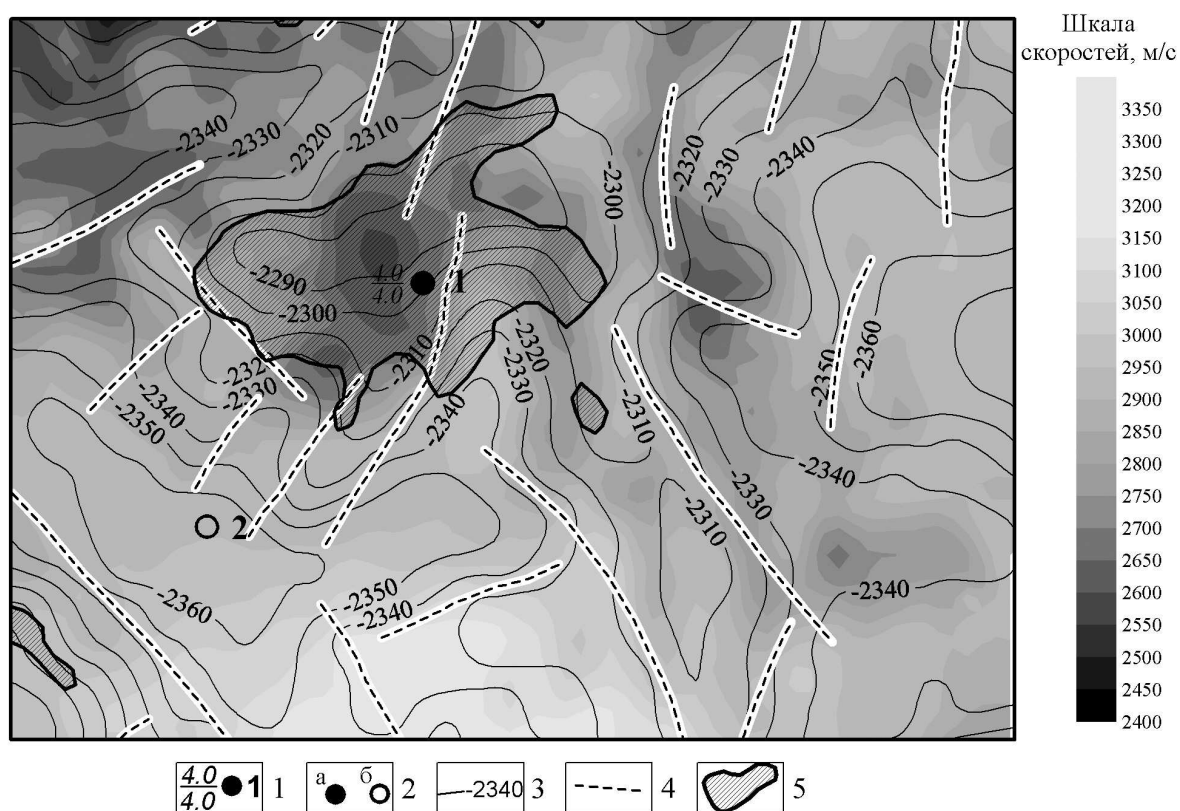


Рис. 5. Сейсмогеологическая модель продуктивного пласта ЮК<sub>0</sub>: 1) скважины, справа: номер, слева: мощность эффективная/мощность эффективная нефтенасыщенная; 2) результаты испытаний: а – нефть, б – «сухо»; 3) изогипсы отражающего горизонта Б (кровля тутлеймовской свиты); 4) предполагаемые разрывные нарушения; 5) зоны трещиноватости, соответствующие значениям частот  $\leq 22$  Гц/22 Гц

Выделение зон с предполагаемой повышенной трещиноватостью проводилось на основе карты ча-

стот, рассчитанной в интервале залегания нижне-тутлеймовской подсвиты.

На рис. 5 показан один из примеров сопоставления карт скоростей и частот в пределах выявленной залежи нефти в отложениях нижнетурлейской подсвиты (пласт ЮК<sub>0</sub>).

Комплекс методических приемов картирования коллекторов может применяться в пределах зон,

где исследуемые отложения формировались в сходных условиях седиментации, и, соответственно, характеризуются близким минеральным составом и структурно-текстурными особенностями, что позволяет использовать атрибуты сейсмической записи.

#### СПИСОК ЛИТЕРАТУРЫ

1. Решения и труды Межведомственного совещания по доработке и уточнению унифицированной и корреляционной стратиграфической схемы Западно-Сибирской низменности (Новосибирск, 1960 г.) / Под ред. Н.Н. Ростовцева. – Л.: Гостоптехиздат, 1961. – 465 с.
2. Баженовский горизонт Западной Сибири / Под ред. В.С. Вышемирского. – Новосибирск: Наука, 1986. – 215 с.
3. Зубков М.Ю. Литолого-петрографическая характеристика отложений баженовской и абалакской свит центральной части Краснотинского свода (Западная Сибирь) // Геология и геофизика. – 1999. – Т. 40. – № 12. – С. 1821–1836.
4. Зубков М.Ю., Портмистер Я.А., Бондаренко П.М. Прогноз трещинных коллекторов в отложениях баженовской и абалакской свит на основе результатов тектонофизического моделирования / Пути реализации нефтегазового потенциала ХМАО / Под ред. В.И. Карасева, Э.А. Ахпатаева, В.А. Волкова. – Ханты-Мансийск, 2002. – С. 244–253.
5. Методические рекомендации по определению подсчетных параметров залежей нефти и газа по материалам геофизических исследований скважин с привлечением результатов анализа керна, опробований и испытаний продуктивных пластов / Под ред. Б.Ю. Вендельштейна, В.Ф. Козыра, Г.Г. Яценко. – Калинин: НПО «Союзпромгеофизика», 1990. – С. 261.
6. Хабаров В.В., Нелепченко О.М., Первухина Т.В. Выделение проницаемых интервалов в породах баженовской свиты Салымского нефтяного месторождения // Геология нефти и газа. – 1978. – № 8. – С. 15–18.
7. Russell B. e. a. Multiattribute seismic analysis // The Leading Edge. – 1997. – V. 5. – № 9. – P. 1439–1443.
8. Hampson D.P. e. a. Use of multiattribute transforms to predict log properties from seismic data // Geophysics. – 2001. – V. 66. – № 1. – P. 220–236.

*Поступила 30.06.2006 г.*